

核子のストレンジクォーク成分

武田 光平 (KEK)

「 J-PARC で展開されるハドロン原子核物理」研究会@ KEK 6月10日

1 はじめに

- 核子：物質の基本的構成要素 → 内部構造を理解したい
 - クォーク、グルーオンの相互作用
 - 量子数はアップ、ダウクォークが担う
 - ストレンジ=隠れたフレーバー
 - ストレンジクォーク質量 $m_s \sim O(\text{強い相互作用のスケール})$
 - 核子構造に大きな寄与？

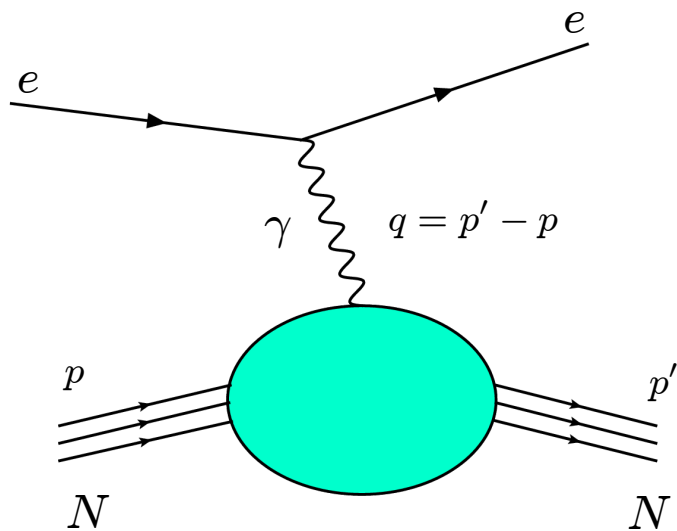
$$\langle N | \bar{s} \gamma_\mu s | N \rangle, \langle N | \bar{s} s | N \rangle$$

- 格子 QCD の結果を紹介

2 ベクター $\langle N | \bar{s} \gamma_\mu s | N \rangle$

- 内部構造 - 電磁気的な分布

電子-核子弾性散乱



$$\langle N | \bar{\psi} \gamma_\mu \psi | N \rangle = \bar{\chi} \left[\gamma_\mu F_1 + \frac{\sigma_{\mu\nu} q^\nu}{2M_N} F_2 \right] \chi$$

$$\Rightarrow \begin{cases} G_E = F_1 + \tau F_2 & \tau \equiv -q^2/4M_N^2 \\ G_M = F_1 + F_2 \end{cases}$$

$G_{E,M}$: 電磁気的形状因子

→ 荷電半径 $\langle r^2 \rangle$ 、

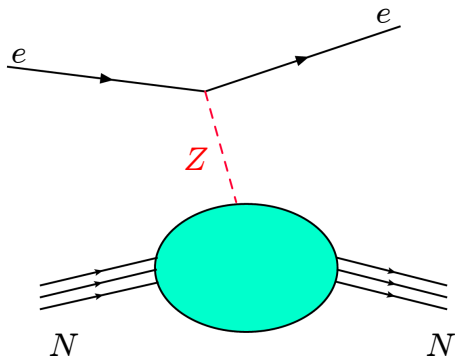
磁気モーメント μ

$$\left(\frac{d\sigma}{d\Omega} \right) = \left(\frac{d\sigma}{d\Omega} \right)_{Mott} \left[\frac{G_E^2 + \tau G_M^2}{1 + \tau} + 2\tau G_M^2 \tan^2 \frac{\theta}{2} \right]$$

- クォークフレーバーの分解

$$G_{E,M}^N \sim \langle N | (\frac{2}{3} \bar{u} \gamma_\mu u - \frac{1}{3} \bar{d} \gamma_\mu d - \frac{1}{3} \bar{s} \gamma_\mu s) | N \rangle$$

- 陽子 & 中性子標的



$$G_{E,M}^p = \frac{2}{3} G_{E,M}^{u,p} - \frac{1}{3} G_{E,M}^{d,p} - \frac{1}{3} G_{E,M}^{s,p}$$

$$G_{E,M}^n = \frac{2}{3} G_{E,M}^{u,n} - \frac{1}{3} G_{E,M}^{d,n} - \frac{1}{3} G_{E,M}^{s,n}$$

Charge symmetry

- 中性カレントによる散乱

$$G_{E,M}^{Z,p} = (1 - \frac{8}{3} \sin^2 \theta_W) G_{E,M}^{u,p} + (-1 + \frac{4}{3} \sin^2 \theta_W) G_{E,M}^{d,p} + (-1 + \frac{4}{3} \sin^2 \theta_W) G_{E,M}^{s,p}$$

- クォークフレーバーの分解

$$G_{E,M}^u = (3 - 4 \sin^2 \theta_W) G_{E,M}^p - G_{E,M}^{Z,p}$$

$$G_{E,M}^d = (2 - 4 \sin^2 \theta_W) G_{E,M}^p + G_{E,M}^n - G_{E,M}^{Z,p}$$

$$G_{E,M}^s = (1 - 4 \sin^2 \theta_W) G_{E,M}^p - G_{E,M}^n - G_{E,M}^{Z,p}$$

- 実際の測定は電磁、中性カレントの干渉 $\sigma = |\mathcal{M}_\gamma + \mathcal{M}_Z|^2$
- Parity-violating asymmetry** の測定 [SAMPLE, PVA4, HAPPEX, G0]

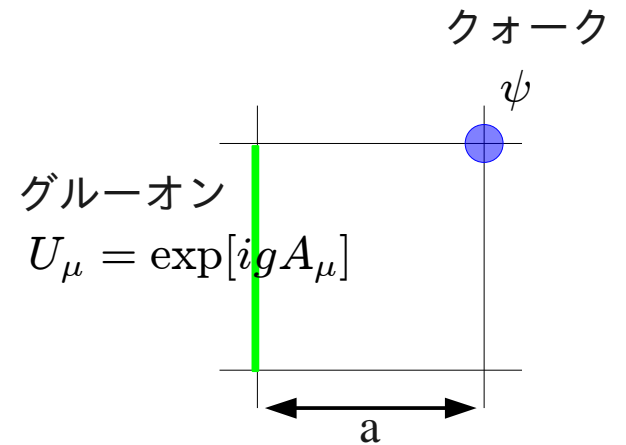
$$A^{PV} = \frac{\sigma_R - \sigma_L}{\sigma_R + \sigma_L}$$

World Data : $G_E^s = 0.002(18)$, $G_M^s = -0.01(25)$ at $Q^2 = 0.1 \text{ GeV}^2$

[R.D. Young et al. (2007)]

2.1 格子 QCD

- 離散化された時空上で QCD を定義
 - 格子間隔 a の導入
 - 運動量のカットオフ $1/a$
 - 摂動論によらない正則化
 - ゲージ不変な定式化
 - モンテカルロ法による物理量の数値計算



$$\langle \mathcal{O} \rangle = \frac{1}{Z} \int dU d\psi d\bar{\psi} \mathcal{O}(U, \psi, \bar{\psi}) e^{-S_{\text{QCD}}} \rightarrow \frac{1}{N} \sum_i^N \mathcal{O}(U_\mu^{(i)}, \psi^{(i)}, \bar{\psi}^{(i)})$$

- 格子 QCD : ストレンジ成分を直接計算可能

- 核子 3 点関数 $\langle N(t) [\bar{s}\gamma_\mu s](t_s) \bar{N}(t') \rangle$

$$\frac{\langle N(t) [\bar{s}\gamma_\mu s](t_s) \bar{N}(t') \rangle}{\langle N(t) \bar{N}(t') \rangle} \xrightarrow{t \ll t_s \ll t'} \langle N | \bar{s}\gamma_\mu s | N \rangle$$

$$\langle N | \bar{s}\gamma_\mu s | N \rangle = \bar{\chi} \left[\gamma_\mu F_1 + \frac{\sigma_{\mu\nu} q^\nu}{2M_N} F_2 \right] \chi$$

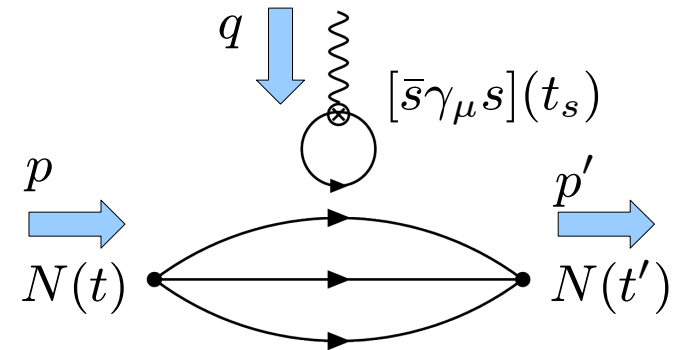
$$\Rightarrow \begin{cases} G_E^s = F_1 + \tau F_2 \\ G_M^s = F_1 + F_2 \end{cases} \quad \tau = -q^2 / 4M_N^2$$

$$G_E^s = 0.0022(19), G_M^s = -0.015(23) \quad \text{at } Q^2 = 0.1 \text{ GeV}^2 \quad [\text{T. Doi et al. (2009)}]$$

cf. Experiment

$$G_E^s = 0.002(18), G_M^s = -0.01(25)$$

- 実験値の 10 分の 1 の誤差
- ストレンジ成分 ~ ゼロ



3 スカラー $\langle N | \bar{s}s | N \rangle$

- 核子質量の分解 $\mathcal{H} = \sum_i m_i \bar{q}_i q_i + \frac{\beta(g)}{2g} G_{\mu\nu}^a G^{a\mu\nu}$
 $\Rightarrow m_u \langle N | \bar{u}u | N \rangle, m_d \langle N | \bar{d}d | N \rangle, m_s \langle N | \bar{s}s | N \rangle$
- 電子 - 核子散乱からは決定できない
- メソン - 核子散乱 \rightarrow 核子シグマ項

$$\sigma_{\pi N}(t) = m_{ud} \langle N(p') | \bar{u}u + \bar{d}d | N(p) \rangle$$

$$\sigma_{KN}(t) = \frac{m_{ud} + m_s}{2} \langle N(p') | \bar{u}u + \bar{s}s | N(p) \rangle$$

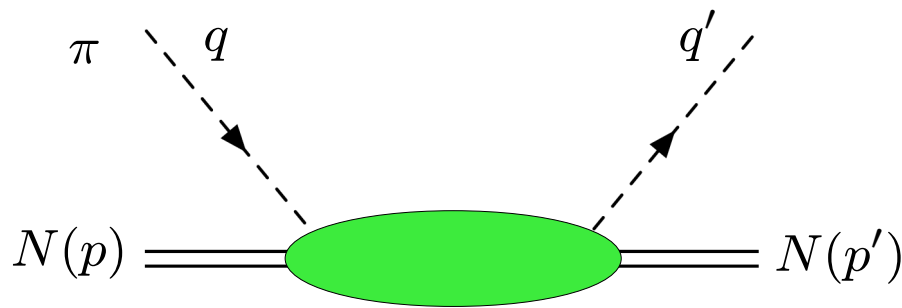
$$t = (p' - p)^2$$

$$m_{ud} = m_u = m_d$$

▶ ただし

$$\langle N(p) | N(p') \rangle = (2\pi)^3 \delta^3(p - p')$$

- メソン - 核子弾性散乱 $\pi(q) + N(p) \rightarrow \pi(q') + N(p')$



散乱振幅 : $A(\nu, t)$

$$s = (q + p)^2$$

$$t = (q' - q)^2$$

$$u = (p' - q)^2$$

$$\nu = s - u$$

$$f_\pi^2 A(\nu, t) = \sigma_{\pi N}(t) + \Delta_R$$

- 非物理的領域 ($\nu = 0, t = 2M_\pi^2$) で $\Delta_R \sim \mathcal{O}\left(\frac{M_\pi^4}{M_N^4}\right)$ Kについても同様
- 実験値を外挿 → さらに $t = 0$ へ解析接続 $\Rightarrow \sigma_{\pi N}(0)$

$$\sigma_{\pi N}(2M_\pi^2) - \sigma_{\pi N}(0) \sim 15\text{MeV} \quad [\text{Gasser, Leutwyler, Sainio (1991)}]$$

- πN 散乱 (TRIUMF)

$$\sigma_{\pi N}(0) = m_{ud} \langle N | \bar{u}u + \bar{d}d | N \rangle = 64(8) \text{ MeV} \quad [\text{Pavan et al. (2001)}]$$

- KN 散乱からストレンジ成分を決めるのは困難

$$\sigma_{KN}(0) = \frac{m_{ud} + m_s}{2} \langle N | \bar{u}u + \bar{s}s | N \rangle < 600 \text{ MeV}$$

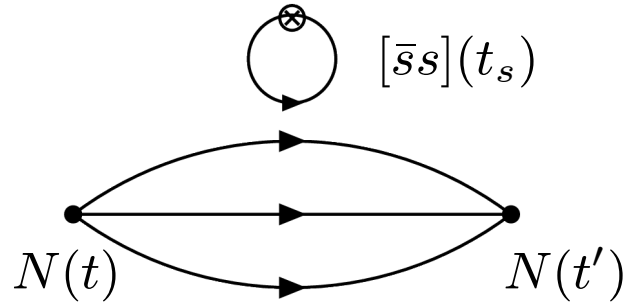
- $SU(3)$ 対称性の破れ

$$m_{ud} \langle N | \bar{u}u + \bar{d}d - 2\bar{s}s | N \rangle = \frac{3m_{ud}}{m_s - m_{ud}} (M_{\Xi} - M_{\Lambda})$$

$$\simeq 24 \text{ MeV}$$

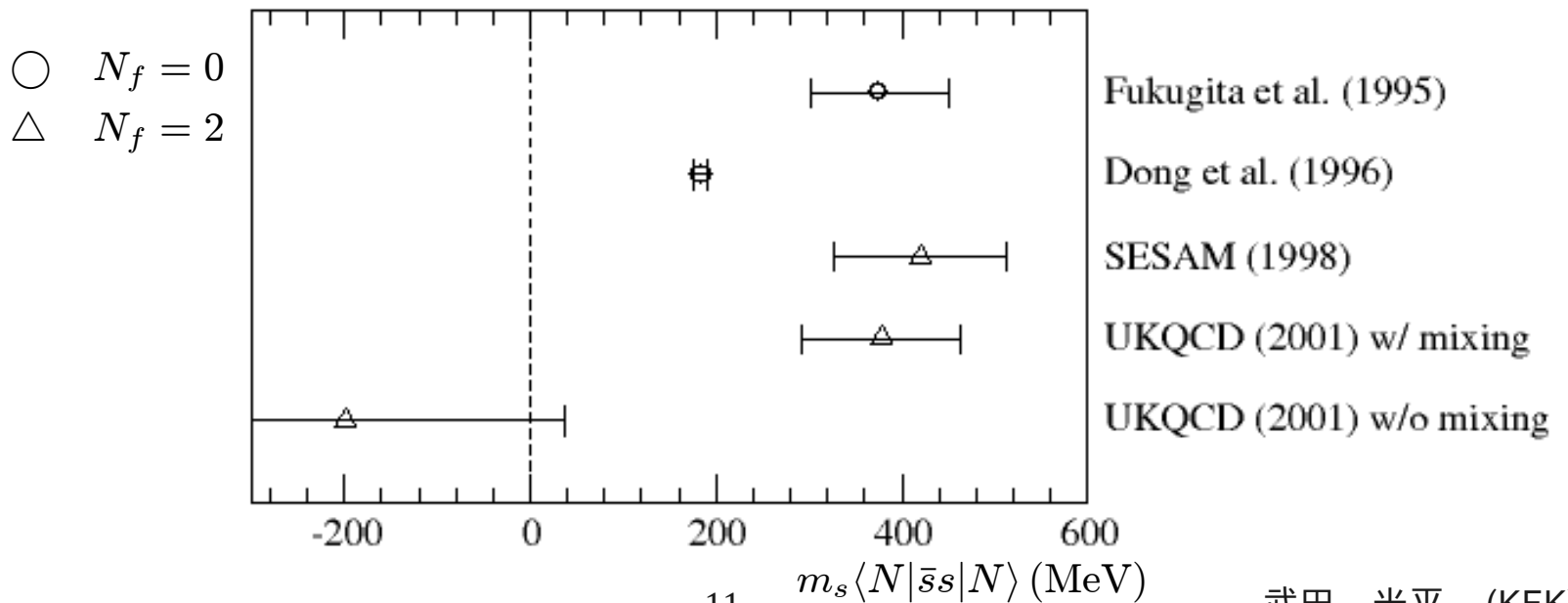
$$\Rightarrow m_s \langle N | \bar{s}s | N \rangle \sim 500 \text{ MeV}$$

- 核子質量の 60% がストレンジクォークの寄与!?



- 格子 QCD

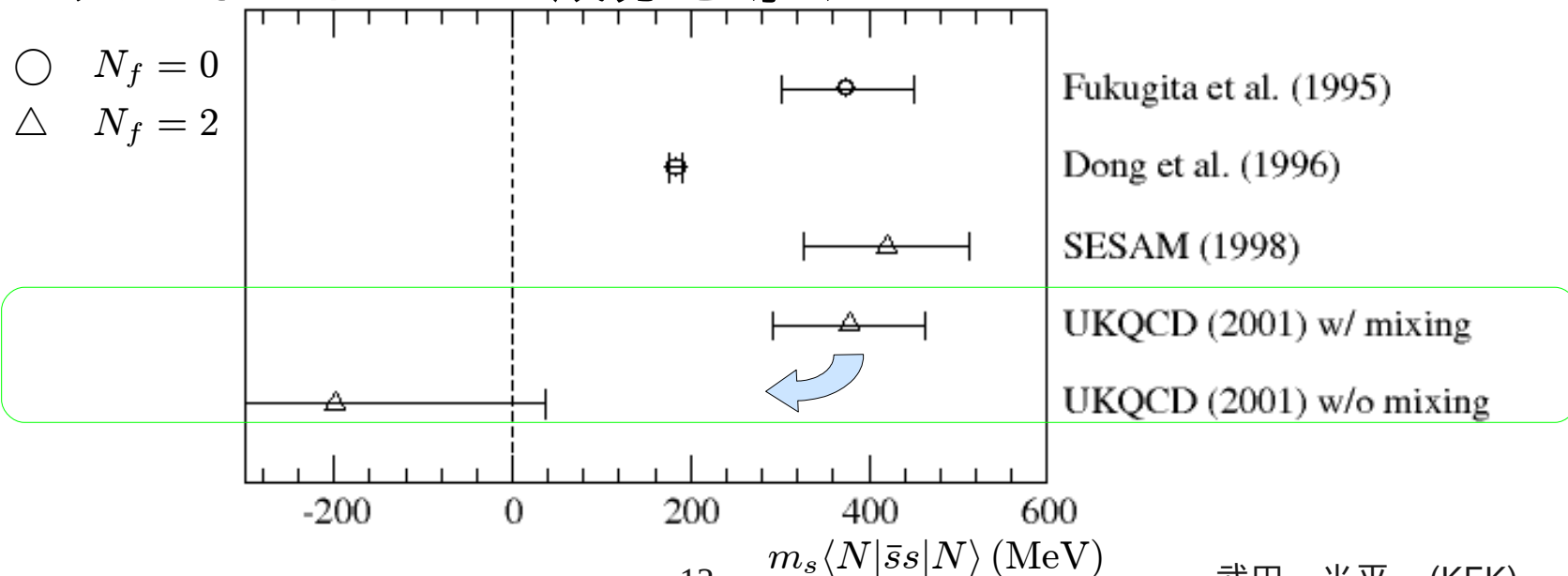
- 直接計算 $\frac{\langle N(t) [\bar{s}s](t_s) \bar{N}(t') \rangle}{\langle N(t) \bar{N}(t') \rangle} \rightarrow \langle N | \bar{s}s | N \rangle$
- 従来の結果は大きなストレンジ成分を示唆



- 従来の結果：ウィルソンフェルミオンを用いていた

$$D_W = \frac{1}{2} [\gamma_\mu (\nabla_\mu + \nabla_\mu^*) - a \nabla_\mu \nabla_\mu^*]$$

- **カイラル対称性をあらわに破っている**
→ 演算子の混合 $(\bar{s}s)^{phys} = Z(\bar{s}s) + Z'(\bar{u}u + \bar{d}d)$
- 大きなストレンジ成分を導く



4 カイラル対称性の実現

- オーバーラップフェルミオン [Neuberger, 1998]

$$D = \left(m_0 + \frac{m_q}{2}\right) + \left(m_0 - \frac{m_q}{2}\right)\gamma_5 \text{sgn}[H_W] \quad H_W = \gamma_5 D_W$$

- 格子上のカイラル対称性を実現

$$D\gamma_5 + \gamma_5 D = aD\gamma_5 D \quad ; \text{ Ginsparg-Wilson 関係式}$$

- 演算子の混合を禁止
- ただし計算コスト大

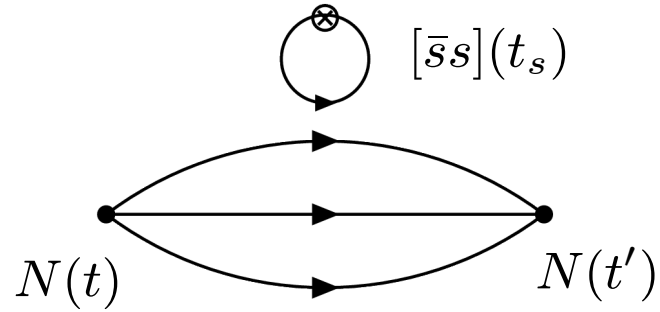
- JLQCD Collaboration @ KEK etc.

オーバーラップフェルミオンの大規模シミュレーション

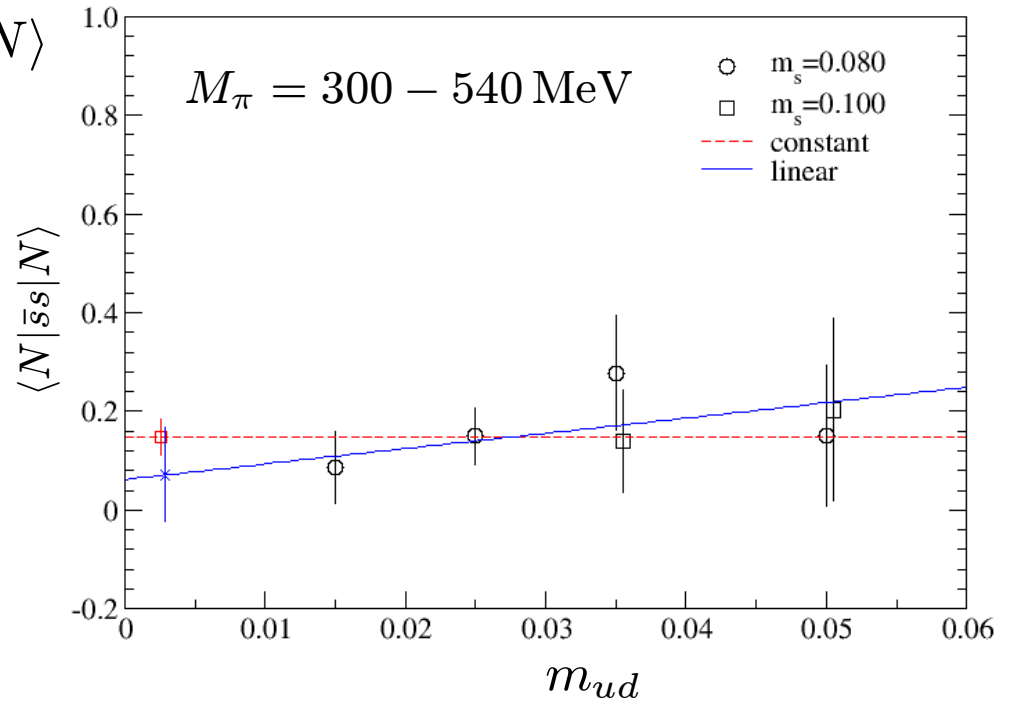
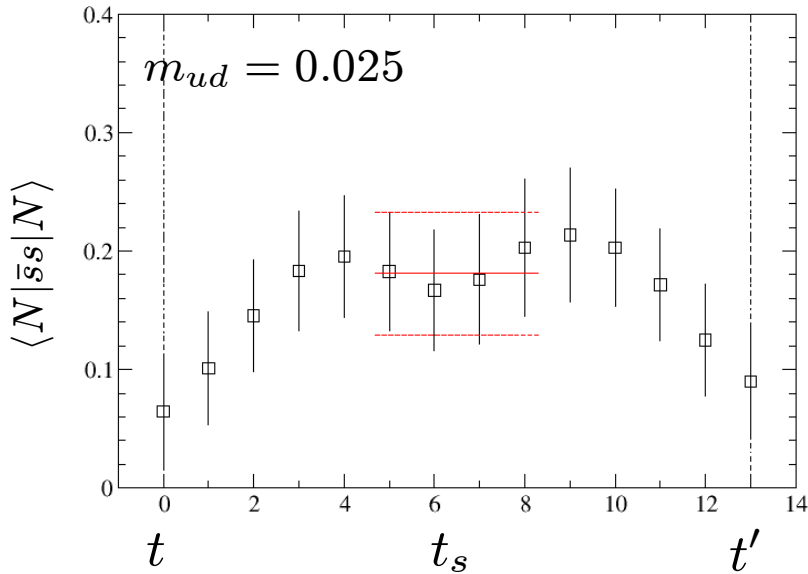


5 数値計算の結果

- 3点関数を計算



$$\frac{\langle N(t) [\bar{s}s](t_s) \bar{N}(t') \rangle}{\langle N(t) \bar{N}(t') \rangle} \xrightarrow{t \ll t_s \ll t'} \langle N | \bar{s}s | N \rangle$$

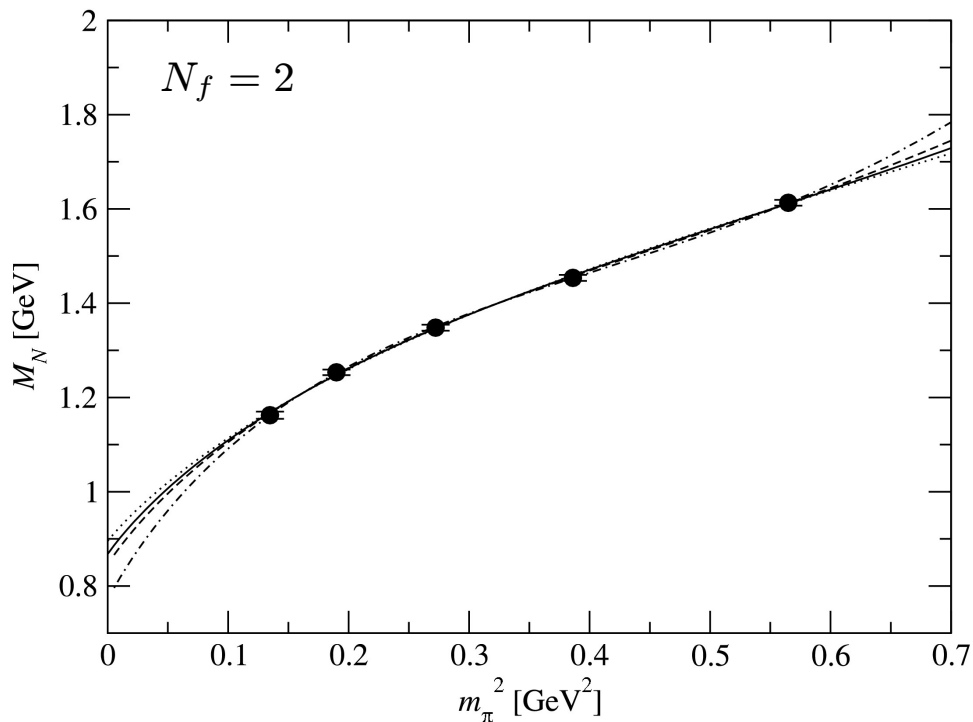


$$m_s \langle N | \bar{s}s | N \rangle = 10(14)(23) \text{ MeV}$$

- 格子 QCD + バリオンカイラル摂動論

- Feynman-Hellmann の定理

$$\frac{\partial M_N}{\partial m_q} = \langle N | \bar{q}q | N \rangle$$



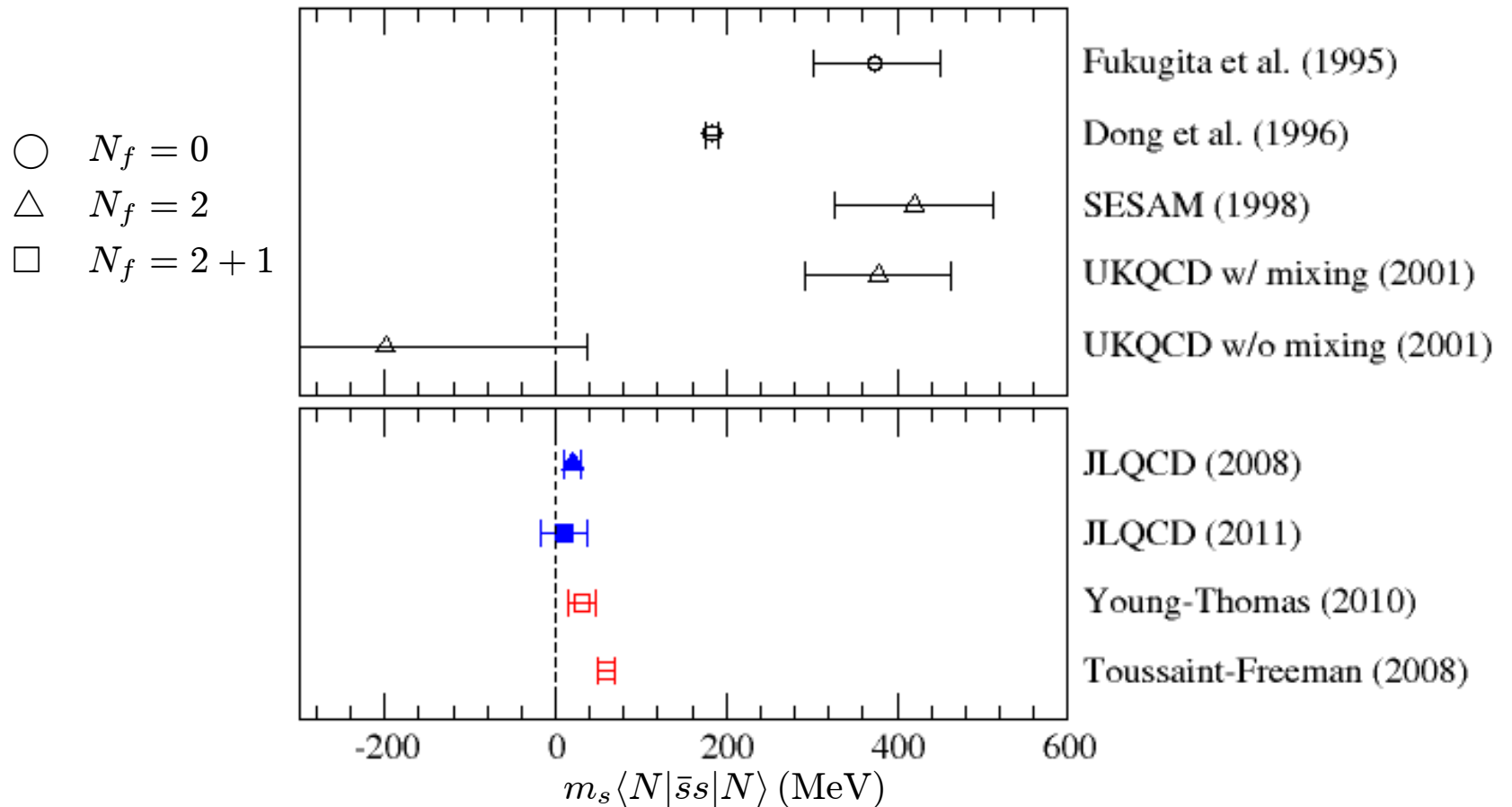
- バリオンカイラル摂動論を用いてデータをフィット

$$m_{ud} \langle N | \bar{u}u + \bar{d}d | N \rangle = 53(2) \left(\begin{smallmatrix} +21 \\ -7 \end{smallmatrix} \right) \text{ MeV}$$

$$m_s \langle N | \bar{s}s | N \rangle = 20(10)(2) \text{ MeV}$$

5.2 比較

- 小さな値を確認、計算精度も向上



まとめ

- 核子のストレンジ成分について格子 QCD の結果を紹介
 - ベクター $\langle N | \bar{s} \gamma_\mu s | N \rangle$

Lattice QCD : $G_E^s = 0.0022(19)$, $G_M^s = -0.015(23)$ at $Q^2 = 0.1 \text{ GeV}^2$
[T. Doi et al. ,2009]

Experiment : $G_E^s = 0.002(18)$, $G_M^s = -0.01(25)$ at $Q^2 = 0.1 \text{ GeV}^2$
[R.D. Young et al. ,2007]

- 実験の解析結果と一致
- 格子 QCD で誤差が 10 分の 1

まとめ

- スカラー $\langle N | \bar{s}s | N \rangle$

$$m_s \langle N | \bar{s}s | N \rangle = \begin{cases} 20(10)(2) & \text{[JLQCD, 2008]} \\ 10(14)(23) & \text{[JLQCD, 2011]} \\ 59(6)(8) \quad \text{MeV} & \text{[Toussaint-Freeman, 2009]} \\ 31(15)(4)(2) & \text{[Young-Thomas, 2010]} \end{cases}$$

- ストレンジ成分は当初の予想より小さい

$$m_s \langle N | \bar{s}s | N \rangle \lesssim 60 \text{ MeV} \ll 500 \text{ MeV}$$